

УДК 535.37

## ОБРАЗОВАНИЕ НЕЛИНЕЙНЫХ ВРЕМЕННЫХ СТРУКТУР ПРИ ЛАЗЕРНОЙ ГЕНЕРАЦИИ В ОБЛАСТИ $M$ -ПОЛОСЫ ЛЮМИНЕСЦЕНЦИИ ПОЛУПРОВОДНИКА

А. Х. Ротару, В. А. Залож

Показано, что динамика экситонов, фотонов и биэкситонов в области  $M$ -полосы описывается обобщенной системой уравнений Лоренца в четырехмерном фазовом пространстве. Предсказана возможность образования периодических и стохастических автоколебаний в системе.

В работах [1, 2] показано, что динамическая эволюция одномодового лазера в модели двухуровневых атомов описывается системой уравнений Лоренца в трехмерном фазовом пространстве. В частном случае к системе Лоренца сводится и задача о временной эволюции когерентных экситонов, фотонов и биэкситонов при экситон-биэкситонной конверсии [3, 4]. В более общем случае динамика однофотонной экситон-биэкситонной конверсии не сводится точно к модели двухуровневых атомов, хотя и обнаруживает с ней большое сходство. Дело в том, что система экситонов и биэкситонов отличается от неупорядоченной совокупности атомов или примесных центров в кристалле способом приготовления и организации начального состояния. Экситоны и биэкситоны являются переходными возбуждениями кристалла и характеризуются определенными временами жизни, в то время как система двухуровневых атомов находится в основном состоянии сколь угодно долго. Это обстоятельство является существенным и, как будет показано ниже, приводит к тому, что динамическая эволюция экситонов, фотонов и биэкситонов в условиях действия внешних накачек и затуханий описывается обобщенной системой уравнений Лоренца в четырехмерном фазовом пространстве.

В данной работе получена система нелинейных дифференциальных уравнений, описывающая динамику однофотонной экситон-биэкситонной конверсии в области  $M$ -полосы люминесценции, приведены ее простейшие бифуркационные свойства и произведен численный эксперимент. Показано, что в зависимости от параметров задачи в системе возможны как периодические, так и стохастические автоколебания. Обсуждается возможность экспериментального обнаружения указанных нелинейных временных структур в кристалле  $\text{CuCl}$ .

### 1. Гамильтониан задачи и вывод обобщенных уравнений Лоренца

Основа рассмотрения динамической эволюции системы экситонов, фотонов и биэкситонов в области  $M$ -полосы люминесценции полупроводника — это гамильтониан однородно распределенных в пространстве квазичастиц. Он состоит из следующих частей: гамильтониана свободных квазичастиц  $H_0$ ; гамильтониана взаимодействия поля с экситонами и биэкситонами  $H_1$ ; гамильтониана, учитывающего взаимодействия квазичастиц с тепло-

вым резервуаром  $H_2$ ; гамильтониана диссипативной системы и системы накачки  $H_3$

$$H = H_0 + H_1 + H_2 + H_3, \quad (1)$$

где

$$H_0 = \hbar\omega_{\text{ex}} a_{\mathbf{k}}^+ a_{\mathbf{k}} + \hbar\Omega_{\text{biex}} b_{\mathbf{k}+\mathbf{q}}^+ b_{\mathbf{k}+\mathbf{q}} + \hbar\omega_{\mathbf{q}} c_{\mathbf{q}}^+ c_{\mathbf{q}}, \quad (2)$$

$$H_1 = i\hbar f [b_{\mathbf{k}+\mathbf{q}}^+ a_{\mathbf{k}} c_{\mathbf{q}} - a_{\mathbf{k}}^+ c_{\mathbf{q}}^+ b_{\mathbf{k}+\mathbf{q}}], \quad (3)$$

$$H_2 = a_{\mathbf{k}}^+ \sum_j \hbar\chi_1 \Gamma_{1j} + b_{\mathbf{k}+\mathbf{q}}^+ \sum_j \hbar\chi_2 \Gamma_{2j} + c_{\mathbf{q}}^+ \sum_j \hbar\chi_3 \Gamma_{3j} + \text{э. с.}, \quad (4)$$

$a_{\mathbf{k}}^+$ ,  $c_{\mathbf{k}}^+$ ,  $b_{\mathbf{k}}^+$  — операторы рождения экситона, фотона и биэкситона с волновым вектором  $\mathbf{k}$ ;  $\hbar\omega_{\text{ex}}$  и  $\hbar\Omega_{\text{biex}}$  — энергии образования экситона и биэкситона;  $\hbar\omega_{\mathbf{q}}$  — энергия фотона;  $f$  — матричный элемент оптического превращения экситона в биэкситон;  $\chi_i$  — константы взаимодействия квазичастиц с тепловым резервуаром;  $\Gamma_{kj}$  — оператор уничтожения возбуждения в тепловом резервуаре. Здесь и далее полагаем объем кристалла  $V=1$ .

Так как сила осциллятора экситон-биэкситонного превращения намного больше силы осциллятора экситонного перехода [5], то в дальнейшем мы не рассматриваем переходы из основного состояния кристалла в экситонное. Кроме того, предполагается, что энергия связи биэкситонов достаточно велика, как это имеет место в кристалле CuCl, так что положения полос  $M$  и  $A$  хорошо разделены. В (1) мы пренебрегли антирезонансными членами. Поскольку переменные теплового резервуара в дальнейшем исключаются и их действие будет проявляться только в фундаментальном уравнении в виде диссипативных членов, то определять их не будем. Кроме того, ввиду громоздкости вычислений мы не будем определять в представлении вторичного квантования гамильтониан внешней накачки, а на определенном этапе учтем взаимодействие активного вещества с подсистемой накачки феноменологически по аналогии с теорией лазеров в модели двухуровневых атомов [6]. Будем также считать, что выделенные нами моды слабо связаны с термостатом, что позволяет пренебречь обратным воздействием выделенных мод на резервуар. В этом приближении можно найти управляющее уравнение для матрицы плотности системы. Следуя [6, 7], для матрицы плотности получаем

$$\begin{aligned} d\rho/dt = & -i\omega_{\text{ex}} [a^+a, \rho] - i\Omega_{\text{biex}} [b^+b, \rho] - i\omega_{\mathbf{q}} [c^+c, \rho] - f [(c^+a^+b - b^+ac), \rho] + \\ & + A_1 ([a\rho, a^+] + [a, \rho a^+]) + A_2 ([a^+\rho, a] + [a^+, \rho a]) + B_1 ([b\rho, b^+] + [b, \rho b^+]) + \\ & + B_2 ([b^+\rho, b] + [b^+, \rho b]) + C_1 ([c\rho, c^+] + [c, \rho c^+]) + C_2 ([c^+\rho, c] + [c^+, \rho c]), \end{aligned} \quad (5)$$

где

$$\begin{aligned} A_{1,2} &= \pi \sum_j |\chi_1|^2 \left\{ \frac{[1 + \bar{n}(\omega_j)]}{\bar{n}(\omega_j)} \right\} \delta(\omega_{\text{ex}} - \omega_j), \\ B_{1,2} &= \pi \sum_j |\chi_2|^2 \left\{ \frac{[1 + \bar{n}(\omega_j)]}{\bar{n}(\omega_j)} \right\} \delta(\Omega_{\text{biex}} - \omega_j), \\ C_{1,2} &= \pi \sum_j |\chi_3|^2 \left\{ \frac{[1 + \bar{n}(\omega_j)]}{\bar{n}(\omega_j)} \right\} \delta(\omega_{\mathbf{q}} - \omega_j), \end{aligned}$$

$\bar{n}(\omega_j)$  — тепловые населенности резервуара. Здесь и далее опускаем индексы волновых векторов.

Представим матрицу плотности в виде разложения по обобщенным когерентным состояниям Глаубера [8]

$$\rho(t) = \int P(\alpha_i, \beta_i) \lambda(\alpha_i, \beta_i) d\mu, \quad (6)$$

где  $a \rightarrow \alpha_1$ ;  $c \rightarrow \alpha_2$ ;  $b \rightarrow \alpha_3$ ;  $a^+ \rightarrow \beta_1$ ;  $c^+ \rightarrow \beta_2$ ;  $b^+ \rightarrow \beta_3$ ;  $P(\alpha_i, \beta_i)$  — обобщенная функция Глаубера;  $\lambda(\alpha_i, \beta_i) = |\alpha\rangle\langle\beta^*|/\langle\beta^*|\alpha\rangle$  — проекционный оператор;  $|\alpha\rangle$ ,  $|\beta\rangle$  — когерентные состояния Глаубера;  $d\mu$  — мера интегрирования. Подставляя (5) в (6), получаем уравнение Фоккера—Планка для  $P(\alpha_i, \beta_i)$

$$\frac{\partial P(\alpha_i, \beta_i, t)}{\partial t} = \left\{ \frac{\partial}{\partial \alpha_1} (i\omega_{\text{ex}}\alpha_1 + \gamma_1\alpha_1 + f\alpha_3\beta_2) + \frac{\partial}{\partial \alpha_2} (i\omega_2\alpha_2 + \gamma_2\alpha_2 + f\beta_1\alpha_3) + \right. \\ \left. + \frac{\partial}{\partial \alpha_3} (i\Omega_{\text{bix}}\alpha_3 + \gamma_2\alpha_3 - f\alpha_1\alpha_2) - \frac{1}{2} \frac{\partial^2}{\partial \alpha_1 \partial \alpha_2} (2f\alpha_3) + \frac{1}{2} \frac{\partial^2 \gamma_3}{\partial \alpha_1 \partial \beta_1} + \frac{1}{2} \frac{\partial^2 (2C_2)}{\partial \alpha_2 \partial \beta_2} + \right. \\ \left. + \frac{1}{2} \frac{\partial^2 \gamma_4}{\partial \alpha_3 \partial \beta_3} + \text{э. с.} \right\} P(\alpha_i, \beta_i, t), \quad (7)$$

где  $\gamma_1 = A_1 - A_2$ ,  $\gamma_2 = B_1 - B_2$ ,  $\gamma = C_1 - C_2$ ,  $\gamma_3 = 2A_2$ ,  $\gamma_4 = 2B_2$ .

Как известно, процессу Фоккера—Планка можно сопоставить ланже-новский процесс. Тогда уравнение (7) эквивалентно системе стохастических дифференциальных уравнений [9]. Поскольку в дальнейшем нас интересует детерминированная динамика когерентных квазичастиц, мы пренебрегаем в уравнениях Ланжевена флуктуационными членами. Это означает, что динамика классических траекторий однофотонного лазера при биэкситон-экситонной конверсии определяется только потоковой частью уравнения (7).

Вводя в рассмотрение полное число экситонов и биэкситонов  $F = \beta_3\alpha_3 + \beta_1\alpha_1$ , разность населенностей  $S = \beta_3\alpha_3 - \beta_1\alpha_1$ , поляризацию  $\tilde{Q} = \beta_1\alpha_3$ , амплитуду поля  $\tilde{c} = \alpha_3$  и представляя  $\tilde{c}$  и  $\tilde{Q}$  в виде

$$\tilde{c} = c \exp[-i\omega_q t], \quad \tilde{Q} = Q \exp[-i\omega_q t],$$

в случае точного резонанса ( $\omega_q = \Omega_{\text{bix}} - \omega_{\text{ex}}$ ) из потоковой части (7) легко получить

$$dc/dt = -\gamma c - fQ, \quad dQ/dt = -(\gamma_1 + \gamma_2)Q - fSc, \quad (8), (9)$$

$$dS/dt = -(\gamma_1 + \gamma_2)S + (\gamma_1 - \gamma_2)F + 2f(Qc^* + Q^*c) + g_2 - g_1, \quad (10)$$

$$dF/dt = -(\gamma_1 + \gamma_2)F + (\gamma_1 - \gamma_2)S + g_2 + g_1, \quad (11)$$

где  $g_1, g_2$  — внешние накачки в экситонный и биэкситонный уровни соответственно, которые, как уже отмечалось, введены в уравнения феноменологически. Отметим, что уравнения (8)—(11) могут быть получены и из гайзенберговских уравнений движения для соответствующих операторов [10], а также в рамках полуклассической теории [3, 4]. При этом константы затухания  $\gamma_i$  вводятся феноменологически и учитывают все виды ухода квазичастиц из соответствующих когерентных мод.

Вводя обозначения

$$c_0 = \frac{\gamma_1 + \gamma_2}{2f}, \quad Q_0 = -\frac{\gamma(\gamma_1 + \gamma_2)}{2f^2}, \quad S_0 = \frac{\gamma(\gamma_1 + \gamma_2)}{f^2}, \quad F_0 = \frac{g_1 + g_2}{\gamma_1 + \gamma_2} + \frac{\gamma(\gamma_1 - \gamma_2)}{f^2}, \\ \sigma = \frac{\gamma}{\gamma_1 + \gamma_2}, \quad a = \frac{\gamma_1 - \gamma_2}{\gamma_1 + \gamma_2}, \quad \beta = \frac{g_2 - g_1}{g_2 + g_1}, \quad R = \frac{f^2(g_2\gamma_1 - g_1\gamma_2)}{2\gamma_1\gamma_2(\gamma_1 + \gamma_2)}, \quad P = R \frac{1 + \alpha\beta}{\alpha + \beta}$$

и сделав замену переменных

$$x = \frac{c}{c_0}, \quad y = \frac{Q}{Q_0}, \quad D = \frac{S}{S_0}, \quad z = R - D, \quad f = \frac{F}{F_0}, \quad T = (\gamma_1 + \gamma_2)t,$$

для безразмерных амплитуды поля  $x$ , поляризации среды  $y$ , разности населенностей  $z$  и полного числа частиц  $f$  получаем

$$\frac{dx}{dT} = -\sigma x + \sigma y, \quad \frac{dy}{dT} = -y + (R - z)x, \quad \frac{dz}{dT} = -z + xy - \alpha P(f - 1), \quad (12)-(14)$$

$$\frac{df}{dT} = -f + 1 + \frac{\alpha}{P}z. \quad (15)$$

Система уравнений (12)—(15) полностью описывает динамическую эволюцию когерентных экситонов, фотонов и биэкситонов в области  $M$ -полосы люминесценции в условиях действия внешних накачек и затуханий в четырехмерном фазовом пространстве. Она является обобщенным аналогом системы уравнений Лоренца на случай систем двухуровневого типа в конденсированных средах, требующих предварительной подготовки. В случае  $\gamma_1 = \gamma_2$  ( $\alpha = 0$ ) и  $f = f_0$  уравнения (12)—(15) переходят в обычную систему уравнений Лоренца с константой  $b = 1$ . Этот частный случай рассмотрен нами в [3, 4, 10].

## 2. Временные структуры в кристалле $\text{CuCl}$

В настоящее время отсутствуют алгоритмы для получения аналитических решений систем нелинейных дифференциальных уравнений общего вида. Поэтому динамику уравнений (12)–(15) мы исследуем качественными и численными методами.

Анализ решений уравнений (12)–(15) связан с решением вопроса об их устойчивости. Уравнения (12)–(15) имеют три критические точки:  $C_0$  (0,

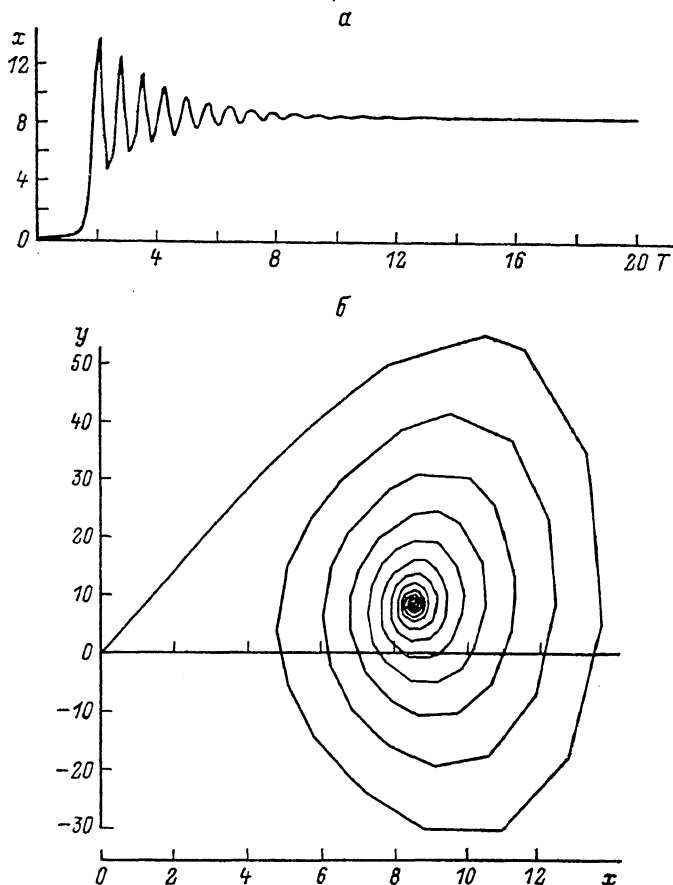


Рис. 1. Переход системы к состоянию стационарной лазерной генерации при  $R=200$ ,  $\sigma=1$ ,  $\alpha=0.8$  (а). Проекция траектории на плоскость в фазовом пространстве с координатными осями поле—поляризация среды (б).

$0, 1$ ),  $C_+$  ( $\sqrt{R-1}$ ,  $\sqrt{R-1}$ ,  $1$ ,  $1 + \alpha/P$ ),  $C_-$  ( $-\sqrt{R-1}$ ,  $-\sqrt{R-1}$ ,  $1$ ,  $1 + \alpha/P$ ). Стационарная точка  $C_0$  соответствует безызлучательному состоянию системы. При  $0 < R < 1$  она является устойчивым узлом. При  $R > 1$   $C_0$  теряет свою устойчивость. При этом появляются точки  $C_+$  и  $C_-$ . В случае  $\sigma < 2$  для всех значений эффективной накачки  $R > 1$  стационарные точки  $C_+$  и  $C_-$  устойчивы (устойчивые фокусы). Если  $\sigma > 2$ , то существует некоторое значение параметра накачки  $R_{\text{кр}} = (-B - \sqrt{B^2 - 4AC})/2A$ , где  $A = (2\sigma + 1)(2 - \sigma)(1 - \alpha^2)$ ,  $B = 2(\sigma + 3)[2\delta + 1](\sigma + 1) - \sigma(\sigma + 3) + \sigma(1 - \alpha^2)(3\sigma - 1)$ ,  $C = \sigma[4(\sigma + 3) - \sigma(1 - \alpha^2)]$ , ниже которого  $1 < R < R_{\text{кр}}$  точки  $C_+$  и  $C_-$  всегда устойчивы. В этом случае в системе возможна устойчивая стационарная лазерная генерация.

В случае  $R > R_{\text{кр}}$  и  $\sigma > 2$  все три критические точки теряют свою устойчивость. При этом, как следует из (12)–(15), четырехмерный фазовый объем стремится к нулю при  $T \rightarrow \infty$  с характерным временем порядка

$(\sigma+3)^{-1}$ . В этом случае в фазовом пространстве системы уравнений (12)—(15) возможно образование предельных циклов, торов либо странных аттракторов.

На рис. 1—3 приведены зависимости амплитуды фотонного поля  $x$  ( $T$ ) и проекции фазовых траекторий на плоскости с координатными осями поле — поляризация среды. Из этих рисунков видно, что в зависимости от параметров системы при биэкситон-экситонной конверсии в области  $M$ -полосы люминесценции полупроводника возможны либо стационарная (рис. 1), либо нестационарная лазерные генерации (рис. 2, 3). Последняя в зави-

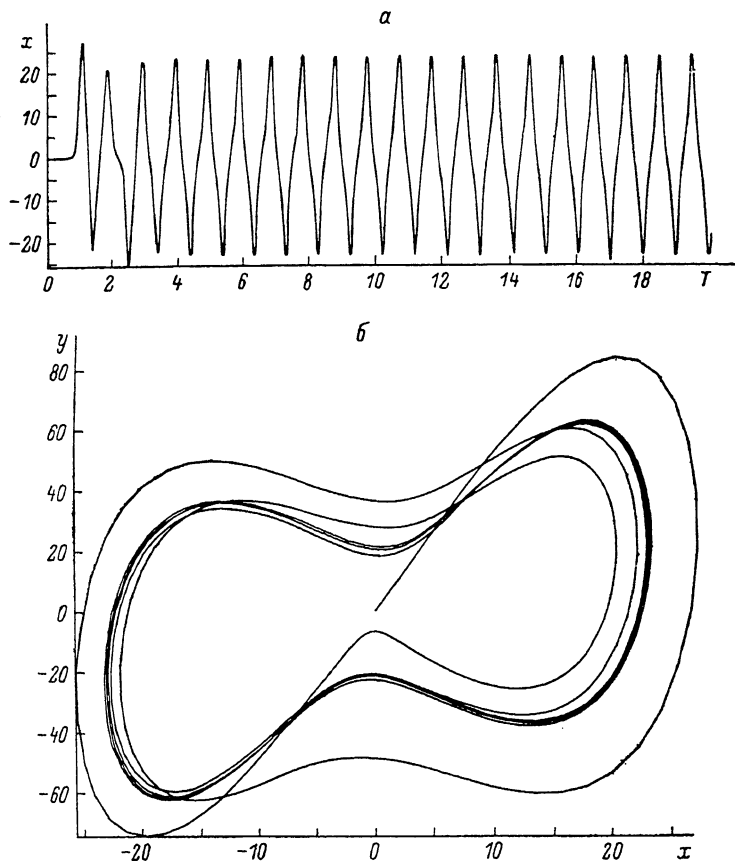


Рис. 2. Временная эволюция  $x$  ( $T$ ) в режиме возникновения предельного цикла  $R=500$  ( $R_{кр}=51.58$ ),  $\sigma=3$ ,  $\alpha=0.8$  (а). Проекция решений системы уравнений (12)—(15) на плоскость  $(x, y)$ . Возникновение предельного цикла в виде восьмерки (б).

симости от параметров системы может иметь как регулярный, так и стохастический характер. Периодические автоколебания соответствуют предельному циклу в виде восьмерки, а стохастические — странному аттрактору. Возникающая динамическая стохастичность является внутренним свойством системы и не связана с действием внешних флуктуаций.

В качестве примера возможного экспериментального наблюдения указанных временных структур рассмотрим кристалл  $\text{CuCl}$ , для которого справедлива выбранная нами модель. Благодаря малому радиусу экситонов в  $\text{CuCl}$  ( $a_{ex} \sim 7 \cdot 10^{-7}$  см) в нем можно создавать большие концентрации экситонов ( $n_{ex} \sim 10^{19}$  см $^{-3}$ ) [11]. Простоты ради предположим, что внешняя накачка действует только в биэкситонный уровень ( $g_2 \neq 0$ ,  $g_1 = 0$ ). Для кристалла  $\text{CuCl}$   $\hbar^2 f^2 = 1.57 \cdot 10^{-16}$  мэВ $^2 \cdot$  см $^3$ ,  $\hbar \omega_{ex} = 3202.7$  мэВ,  $\hbar \Omega_{biox} = 6372.5$  мэВ,  $\hbar \gamma_1 = 0.03$  мэВ,  $\hbar \gamma_2 = 0.3$  мэВ [12]. Как уже отмечалось, при  $\sigma < 2$  в системе возможна стационарная лазерная генерация при любых  $R > 1$ , что соответствует интенсивности внешней накачки  $I > I_1 \sim 10^{-2}$  МВт/см $^2$ .

В случае  $\sigma > 2$  и  $R \geq R_{кр}$  ( $I \geq I_2 \sim 1$  МВт/см<sup>2</sup>) в системе возникают стохастические автоколебания (оптическая турбулентность). Наконец, при  $\sigma > 2$  и  $R \geq R_{кр}$  ( $I_3 \sim 10$  МВт/см<sup>2</sup>) в кристалле возможны нелинейные периодические автоколебания. Концентрации квазичастиц при этом в CuCl  $n \sim 10^{15} \div 10^{18}$  см<sup>-3</sup>. Отметим, что оптическая бистабильность в CuCl наблюдалась экспериментально при интенсивностях внешней накачки  $I \sim 7 \div 14$  МВт/см<sup>2</sup> [13].

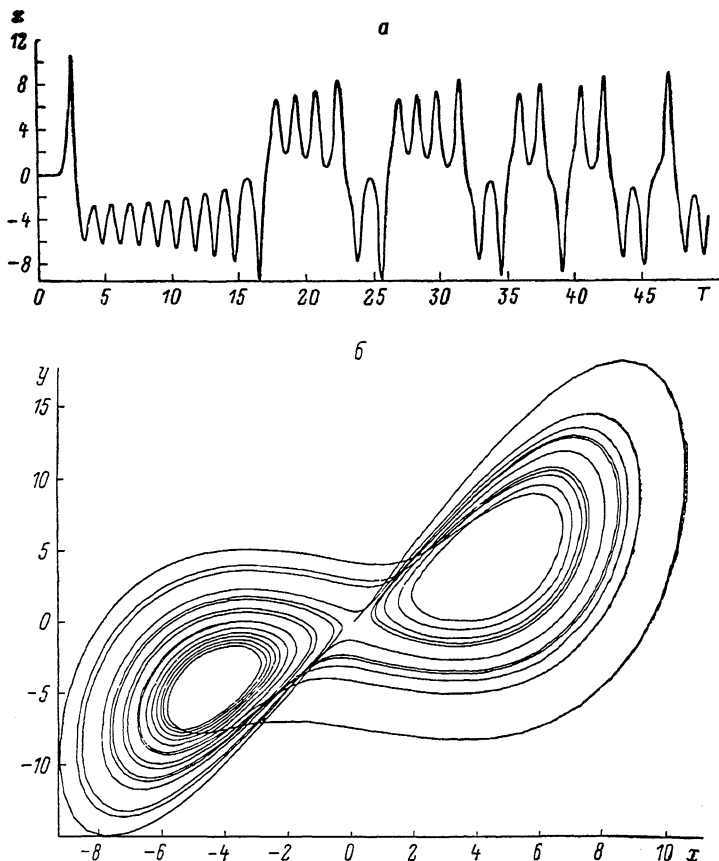


Рис. 3. Временная эволюция  $x(T)$  в случае возникновения странного аттрактора при  $R=55$  ( $R_{кр}=51.58$ ),  $\sigma=3$ ,  $\alpha=0.8$  (а). Фазовый портрет странного аттрактора на плоскость с координатными осями поле—поляризация среды (б).

Таким образом, приведенные оценки позволяют сделать вывод о реальной возможности наблюдения различных временных структур в режиме лазерной генерации  $M$ -полосы люминесценции полупроводника.

Система уравнений (12)—(15), которая описывает динамику классических лазерных траекторий в области  $M$ -полосы люминесценции, является богаче системы уравнений Лоренца. Здесь возможны возникновение жесткого и метастабильного хаоса, переход к хаосу через бифуркации удвоения периода, а также явление стохастического оптического гистерезиса. Отметим также, что аналогичные автомодуляционные колебания возможны и при внутри- и межсерийных экситонных переходах в полупроводниках.

#### Л и т е р а т у р а

- [1] Haken H. // Phys. Lett. 1975. V. 53A. P. 77—80.
- [2] Ораевский А. Н. // Квант. электр. 1981. Т. 8. № 1. С. 130—142.
- [3] Rotaru A. H., Shibarshina G. D. // Phys. Lett. 1985. V. 101A. N 6. P. 292—294.
- [4] Ротару А. Х. // ФТТ. 1986. Т. 28. № 8. С. 2492—2496.
- [5] Рамба Э. И. // ФТТ. 1974. Т. 8. № 7. С. 1241—1256.

- [6] Арреки Ф., Скалли М., Хакен Г., Вайдлих В. Квантовые флуктуации излучения лазера. М., 1974. 236 с.
- [7] Москаленко С. А., Ротару А. Х., Швера Ю. М. // ФТТ. 1987. Т. 29. № 11. С. 2396—2400.
- [8] Drummond P. D., Gardiner G. W. // J. Phys. A, Math. Gen. 1980. V. 13. P. 2353—2364.
- [9] Хакен Х. Синергетика. М., 1980. 384 с.
- [10] Ротару А. Х. // ФТТ. 1987. Т. 29. № 11. С. 3282—3287.
- [11] Certier M., Wecher C., Nikitine S. // J. Phys. Chem. Sol. 1969. V. 30. P. 2135—2141.
- [12] Sung C. C., Bowden C. M., Haus J. M., Chiw W. K. // Phys. Rev. A. 1984. V. 30. P. 1873—1881.
- [13] Peyghambarian N., Gibbs H. M., Rushford M. C., Weinberger D. A. // Phys. Rev. Lett. 1983. V. 51. N 28. P. 1692—1695.

Институт прикладной физики АН МССР  
Кишинев

Поступило в Редакцию  
17 февраля 1988 г.  
В окончательной редакции  
25 октября 1988 г.